

С 370.6е

4-55.

20/11-65

ОБЪЕДИНЕННЫЙ
ИНСТИТУТ
ЯДЕРНЫХ
ИССЛЕДОВАНИЙ

Дубна

P-1993



ЛАБОРАТОРИЯ ТЕОРЕТИЧЕСКОЙ ФИЗИКИ

Доан Нхыонг

НЕКОТОРЫЕ ЭФФЕКТЫ
ПСЕВДОСКАЛЯРНОГО МЕЗОНА
С НУЛЕВОЙ МАССОЙ

1965

P-1993

Доак Нхыонг

30/IV/2 49.

НЕКОТОРЫЕ ЭФФЕКТЫ
ПСЕВДОСКАЛЯРНОГО МЕЗОНА
С НУЛЕВОЙ МАССОЙ

В последнее время обсуждалась /1,2,3/ возможность существования псевдоскалярного поля с кулевым массой, которое будем обозначать через ξ . В работе /4/ рассмотрены некоторые следствия существования ξ -поля. В ней на основании экспериментальных данных оценивались верхние пределы его константы связи с фермионными полями. Я могу рассмотреть ряд эффектов в ξ -поле и обсудить их отличия от аналогичных эффектов максвелловского поля. Цель заметки - предсказать те своеобразные характеристики этих эффектов, которые могли бы помочь детектировать это, пока гипотетическое, излучение.

1. Упругое рассеяние ξ -мезона на электроне

Предположим, что ξ -поле взаимодействует с электроном с максимальной константой взаимодействия, допускаемой /4/,
 $\xi + e^- \rightarrow \xi + e^-$.

Диаграмма этого процесса представлена на рис. 1.

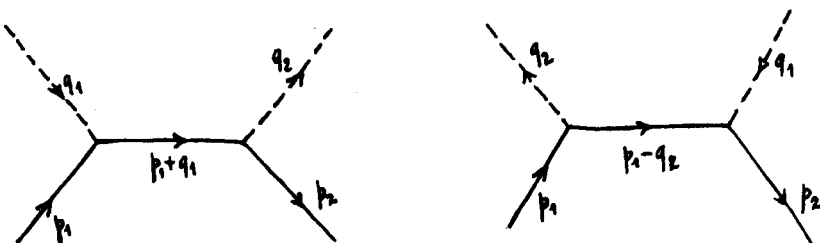


Рис. 1.

Для матричного элемента имеем следующее выражение:

$$M_{ff} = (2\pi)^4 \delta^4(p_1 + q_1 - p_2 - q_2) \frac{g^2}{\sqrt{4 q_1^0 q_2^0}} \bar{u}(p_2) \left[\gamma_5 \frac{i(\hat{p}_1 + \hat{q}_1) - m}{(p_1 + q_1)^2 + m^2} \gamma_5 + \gamma_5 \frac{i(\hat{p}_1 - \hat{q}_2) - m}{(p_1 - q_2)^2 + m^2} \gamma_5 \right] u(p_1),$$

здесь g - константа связи ξ -мезона и электрона, m - масса электрона. С помощью элементарных вычислений получаем для полного сечения формулу

$$\sigma = \frac{g^4}{32 \pi E^2} \left[\frac{5E^2 + m^2}{E^2} + \frac{4m^2}{E^2 - m^2} \ln \frac{E}{m} \right].$$

В таблице 1 представлены некоторые значения сечения в зависимости от полной энергии системы (в с.н.м.)

Таблица 1

q_1 (МэВ)	E (МэВ)	σ ($\text{см}^2 \cdot 10^{33}$)
2	1,52	21,60
4	2,08	12,70
6	2,52	9,12
8	2,85	7,45
10	3,27	5,90

Здесь q_1 - импульс ξ -мезона в лабораторной системе, где электрон покоятся.

Для сравнения со случаем фотона найдем угловое распределение этого процесса.

$$\frac{d\sigma}{d\Omega} = \frac{f^2}{4m^2} \left(\frac{q_2^0}{q_1^0} \right)^2 \left[\frac{q_2^0}{q_1^0} + \frac{q_1^0}{q_2^0} + 2 \right].$$

Здесь $f = \frac{g^2}{4\pi}$, q_1^0 , q_2^0 - энергия ξ -мезона до и после рассеяния.

Отличие от случая рассеяния фотонов^{5/} состоит в том, что для ξ -мезона угловое распределение изотропно, в то время как угловое распределение комптоновского рассеяния неизотропно.

2. Неупругое рассеяние ξ -мезона на электроне

Мы рассмотрим процесс $\xi + e^- \rightarrow \gamma + e^-$

диаграмма которого представлена на рис. 2.



Рис. 2.

Матричный элемент для этого процесса есть

$$M_{ff} = (2\pi)^4 \delta^4(p_1 + q_1 - p_2 - q_2) \frac{eg}{\sqrt{4q_1^0 q_2^0}} \bar{u}(p_2) [e^{\frac{i(\hat{p}_1 + \hat{q}_1) - m}{(p_1 + q_1)^2 + m^2} \gamma_5} + \gamma_5 \frac{i(\hat{p}_1 - \hat{q}_2) - m}{(p_1 - q_2)^2 + m^2} e^{\frac{i(\hat{p}_1 - \hat{q}_2) - m}{(p_1 - q_2)^2 + m^2} \gamma_5}] u(p_1).$$

Полное сечение этого процесса

$$\sigma = \frac{e^2 g^2}{16 \pi E^2} \left[\frac{m^2 - 3E^2}{E^2} + \frac{4E^2}{E^2 - m^2} \ln \frac{E}{m} \right],$$

где E - полная энергия системы (в с.н.м.). В таблице 2 представлены некоторые значения полного сечения, соответствующие различным значениям энергии.

Таблица 2

q_1 (МэВ)	E (МэВ)	σ ($\text{см}^2 \cdot 10^{30}$)
2	1,52	21,26
4	2,08	17,02
6	2,52	14,00
8	2,85	12,35
10	3,27	10,54

Здесь q_1 - импульс, ξ - мезона в лабораторной системе. Угловое распределение имеет вид:

$$\frac{d\sigma}{d\Omega} = \frac{af}{2m^2} \left(\frac{q_2^0}{q_1^0} \right)^2 \left[\frac{q_2^0 + m}{q_1^0} \left(\frac{q_1^0}{q_2^0} \right)^2 - \frac{m}{q_1^0} - 3 + \left(1 + \frac{q_1^0}{q_2^0} \right) \cos \theta \right],$$

где $a = \frac{e^2}{4\pi}$ и q_1^0, q_2^0 - энергия соответственно ξ -мезона и γ -кванта.

3. Рассеяние ξ -мезона на протоне

Для этого процесса получим также выражения полного сечения и углового распределения, как и в случае рассеяния на электроне. Мы будем рассматривать два случая: либо взаимодействие ξ -мезона является универсальным, либо неуниверсальным. В таблице 3 представлены некоторые значения полного сечения этого процесса.

Таблица 3

q_1 (МэВ)	E (МэВ)	σ (см 2) $\cdot 10^{29}$	Σ (см 2) $\cdot 10^{24}$ ^{x)}
2	940,2	8,9	2,69
4	942,2	10,6	3,20
6	944,2	10,8	3,24
8	946,2	5,4	1,63
10	948,2	3,6	1,10

x) Константа связи дана в работе ^{/4/}.

4. "Фотоэффект" ξ -мезона

Как и фотон, ξ -мезон может выбить электрон из атома, поглотившись в атоме $\xi + A \rightarrow e^- + A'$.

Матричный элемент этого процесса есть

$$M_{if} = \int_i \bar{\psi}_f(\vec{r}) \gamma_5 e^{-ik \cdot \vec{r}} \psi_i(\vec{r}) d\vec{r},$$

здесь k - импульс ξ -мезона, $\psi_i(\vec{r})$ и $\bar{\psi}_f(\vec{r})$ - волновые функции в начальном и конечном состояниях. В случае $a_z \ll 1$ имеем:

$$M_{if} = N_i \bar{\psi}_f(\vec{p}) \{ \gamma_5 J_0 + \gamma_5 \gamma_4 (\vec{\gamma} \vec{J}_1) + (\vec{\gamma} \vec{J}_2) \gamma_4 \gamma_5 \} u_0.$$

Здесь

$$J_0 = \int_i e^{i(\vec{k}-\vec{p}) \cdot \vec{r} - \eta r} F[i, 1, i(p_r + \vec{p} \cdot \vec{r})] d\vec{r},$$

$$J_1 = -\frac{1}{2} a_z \int_i e^{i(\vec{k}-\vec{p}) \cdot \vec{r} - \eta r} \frac{\vec{r}}{r} F[i, 1, i(p_r + \vec{p} \cdot \vec{r})] d\vec{r},$$

$$\vec{J}_2 = -\frac{1}{2\epsilon} \int_i e^{i(\vec{k}-\vec{p}) \cdot \vec{r} - \eta r} \nabla F[i, 1, i(p_r + \vec{p} \cdot \vec{r})] d\vec{r},$$

$$t = \frac{az}{v}, \quad v, \quad \epsilon - \text{скорость и энергия налетающего электрона}$$

$$N_i = \sqrt{\frac{z^3}{\pi a_0^3}}, \quad a_0 = \frac{\hbar}{m e^2};$$

$$N_f = \left(\frac{2\pi t}{1-e^{-\frac{2\pi t}{\lambda}}} \right)^{\frac{1}{2}}, \quad \vec{u} = \frac{\vec{r}}{r}.$$

С помощью элементарных вычислений получаем следующее выражение для полного сечения

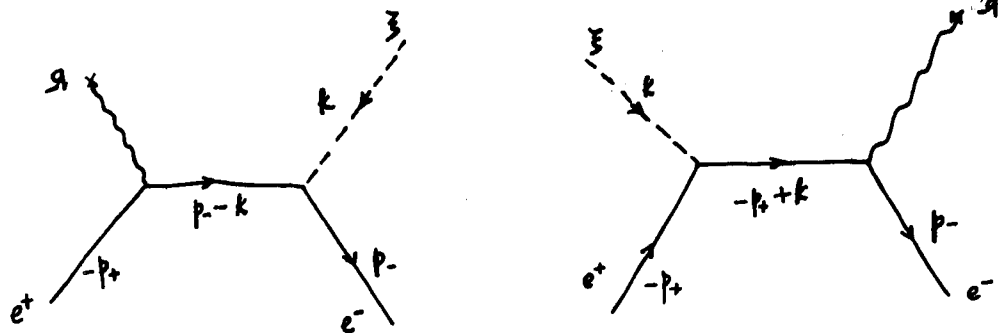
$$\sigma = g^2 z^5 a^2 \frac{m}{k^0},$$

где k^0 - энергия ξ -мезона.

Эта формула применима только в краинерелятивистском случае и для легких ядер. В случае тяжелых ядер по методу ^{/6/} также можно найти подобное выражение, но оно довольно сложное.

6. Образование электронно-позитронных пар в поле ядра

Для процесса $\xi + A \rightarrow e^- + e^+ + A$ имеем две следующие диаграммы (см. рис. 8).



Р и с . 3.

$$M_{ff} = 2\pi \delta(\epsilon_+ + \epsilon_- - k^0) \frac{ze^2 g}{\sqrt{2k^0}} \frac{1}{(p_+ + p_- - k)^2} \times$$

$$\times u(p_-) [\gamma_5 \frac{i(\hat{p}_- - \hat{k}) - m}{(p_- - k)^2 + m^2} \gamma_4 + \gamma_4 \frac{i(-\hat{p}_+ + \hat{k}) - m}{(-p_+ + k)^2 + m^2} \gamma_5] \cdot v(-\hat{p}_+) \cdot$$

С помощью элементарных вычислений найдем

$$d\sigma = \frac{z^2 a^2 f}{2\pi k^0} \frac{p_+ \cdot p_- d\epsilon_+ d(\cos\theta_+) d(\cos\theta_-) d\phi_+}{q^4} \times$$

$$\times \frac{1}{(p_+^0 - p_- \cos\theta_-)^2} (-p_+ p_- \cos\theta_+ \cos\theta_- - p_+^0 p_- \cos\theta_+ + p_-^0 p_+ \cos\theta_- + (\epsilon_+ \epsilon_-) +)$$

$$\times \frac{2}{(p_+^0 - p_- \cos\theta_-)(p_+^0 - p_+ \cos\theta_+)} (p_+ p_- \sin\theta_+ \sin\theta_- \cos\phi_+ + p_+ p_- \cos\theta_+ \cos\theta_- - m^2) +$$

$$\frac{1}{(p_+^0 - p_+ \cos\theta_+)^2} (-p_+ p_- \cos\theta_+ \cos\theta_- - p_-^0 p_+ \cos\theta_+ + p_+^0 p_- \cos\theta_- + (\epsilon_+ \epsilon_-)) \dots$$

Здесь θ_\pm — углы между \vec{p}_\pm и \vec{k} , ϕ_+ — угол между плоскостями $(\vec{p}_+ \vec{k})$, $(\vec{p}_- \vec{k})$; p_+^0 , p_-^0 , k^0 — энергия соответственно позитрона, электрона и ξ -мезона; $f = \frac{g^2}{4\pi}$; $q^2 = (\vec{k} - \vec{p}_- - \vec{p}_+)^2$. В краинерелятивистском случае, когда электрон и позитрон испускаются преимущественно вперед, θ_\pm — малые, получаем

$$d\sigma = 8 \frac{z^2 a^2 f k^0}{m q^4} p_+ p_- v^2 u^2 t \eta d\theta_+ d\theta_- d\epsilon_+$$

где $u = \frac{p_- \theta_-}{m}$, $v = \frac{p_+ \theta_+}{m}$, $t = \frac{1}{1+u^2}$, $\eta = \frac{1}{1+v^2}$.

Отличие от случая фотона^{/5/} состоит в том, что угловое распределение здесь не зависит от угла ϕ_+ между плоскостями $(\vec{p}_+ \vec{k})$ и $(\vec{p}_- \vec{k})$.

Выражаю глубокую благодарность М.А.Маркову за постановку задачи и Нгуен Ван Хьеу за ценные обсуждения.

Л и т е р а т у р а

1. J.Goldstone. Nuovo Cim., 14, 154 (1961).
2. Y.Nambu, G.Jona-Lasinic. Phys. Rev., 127, 965 (1962).
3. М.А. Марков. Нейтрино. Москва, изд-во "Наука", 1984.
4. Нгуен Ван Хьеу. ЖЭТФ, 47, 118 (1964).
5. А.И. Ахиезер, В.Б. Берестецкий. Квантовая электродинамика. Физматгиз, 1959.
6. H.R.Hulme. Proc of the Royal Society, 138, 643 (1932).

Рукопись поступила в издательский отдел
6 февраля 1985 г.